

Глубинные разломы

Общая характеристика

Земная кора дискретна по своей структуре, она имеет сложное слоисто-блоковое строение. По вертикали кора дифференцирована на отдельные слои, которые мы только что охарактеризовали, в горизонтальном направлении — на глыбы или блоки. Границы между слоями, исследуемые методом ГСЗ, залегают обычно почти горизонтально, образуя пологоволнистые формы. Эта спокойная пологая волнистость нарушается в зонах глубинных и других крупных разломов, рассекающих всю кору или отдельные ее слои и обусловливающих тем самым дискретный характер ее структуры в горизонтальном направлении. Глубинные разломы располагаются по некоторым определенным направлениям и образуют закономерные системы. Как в вертикальных сечениях, так и в горизонтальных срезах глубинные разломы представляют собой довольно широкие сложно построенные зоны сочленения блоков, характеризующиеся проявлениями многочисленных элементарных нарушений, чрезвычайно сложной дислокации пород, их дробления, мицелитизации и т. д. Наклоны зон глубинных разломов изменяются в широких пределах — от вертикальных до весьма пологих, практически горизонтальных. Глубинные разломы отличаются большой протяженностью и длительностью развития. Живучесть и консервативность глубинных разломов обусловливают явление унаследованности в развитии геологических структур. Блоки земной коры, разделенные разломами, имеют определенную автономность, проявляющуюся в различиях их физических параметров (плотностей, упругих свойств и др.), в особенностях геологического строения, истории геотектонического развития и т. д. Геологические и особенно геофизические материалы последних лет все более убеждают в том, что это относится не только к крупнейшим глыбам земной коры, разделенным глубинными разломами — швами, но и в определенной степени к отдельным блокам в пределах крупных структур. Дифференциация на отдельные блоки четко проявляется по геологическим данным, характеру физических полей и особенностям глубинного строения не только в «живущих» структурах геосинклинальных областей, но и в таком «смертвом» регионе, как Украинский щит. Перечисленные свойства структуры земной коры, имеющие общий глобальный характер [47, 199, 200, 202, 314, 316, 386], отчетливо наблюдаются и на юге Европейской части СССР [13, 21, 22, 46, 73, 74, 116, 136, 144, 231, 232, 250, 254—257, 261, 264, 266, 267, 272, 276, 279, 286, 288, 291, 293, 303, 345—347, 351, 358, 364, 368, 382].

Глыбово-волнистое строение земной коры — надежный критерий для определения границ между геологическими структурами при геотектоническом районировании: при плавных изгибах слоев земной коры на участках сочленения структур границы обычно проходят там, где эти изгибы осложнены глубинными разломами, разделяющими блоки коры. Обнаружить такие границы зачастую можно лишь геофизическими методами; они во многих случаях не совпадают с видимыми геологическими границами, положение которых в плане обычно является функцией глубины эрозионного среза. Подобное несовпадение видимых геологических границ с истинными глубинными отмечается, например, на Украинском щите, во Внешней и Внутренней зонах Предкарпатского прогиба, в зоне сочленения Восточно-Европейской платформы и Скифской плиты и т. д.

Крупнейшие глубинные разломы — швы — разграничивают основные структурные элементы юга Европейской части СССР и прилегающих регионов. Такие разломы установлены между Восточно-Европейской платформой и Карпатами, Карпатами и Закарпатским прогибом, Восточно-Европейской платформой и Скифской плитой, Скифской плитой и Горным Крымом. Мизийской плитой, Балканами и Южными Карпатами, между

Крымом — Кавказом и Черноморской впадиной. Внутри основных геоструктурных элементов, таких как платформы и геосинклинальные области, глубинные разломы разделяют крупные структуры: антиклинарии и синклинарии, авлакогены и зоны платформенных поднятий и т. д.

Юг Европейской части СССР весьма благоприятен для изучения глубинных разломов и их влияния на осадконакопление, складчатость,магматизм, распределение минеральных месторождений. Этому способствуют следующие особенности геологии региона:

1) сочетание разнообразнейших геологических структур от классической платформенной структуры (Украинского щита) до молодых складчатых сооружений (Карпат и Кавказа) и субокеанической впадины (Черного моря), позволяющее изучать проявления глубинных разломов в различных геотектонических условиях (геосинклинальных, платформенных, переходных);

2) сочетание разновозрастных геологических структур — от дорифейских до неоген-антропогеновых, — позволяющее изучать проявления глубинных разломов на всем протяжении геологической истории от глубокого докембра до наших дней;

3) сочетание глубоко размытых и сильно прогнутых структур, которое дает возможность изучать проявления глубинных разломов на разных гипсометрических уровнях от глубоких срезов кристаллической коры, где зоны таких разломов мы встречаем в «отпрепарированном» виде (Украинский щит), до самых верхних частей мощных осадочных толщ (Днепровско-Донецкая, Причерноморско-Кубанская и другие впадины);

4) сочетание разновозрастных, пересекающихся друг с другом систем глубинных разломов, дающее важный материал для изучения вопросов унаследованности новообразования.

В пределах Украинского щита и его склонов, где консолидированная кора обнажена или подходит близко к поверхности, по геофизическим и геологическим данным выделяются глубинные разломы, расчленяющие щит на отдельные блоки [13, 21, 22, 46, 116, 276, 286, 291, 303, 31 и др.]. Эти разломы группируются в ортогональную и диагональную системы, являющиеся разновозрастными и соответствующие определенным древним геотектоническим этапам развития щита. Большинство из этих разломов «заслеченные», и выделение их возможно лишь по геофизическим данным. Глубинные сейсмические исследования показывают, что древние Коньско-Белозерский, Орехово-Павлоградский, Криворожско-Кременчугский, Кировоградский и Одесский разломы [232, 263, 276, 345, 351, 364] прорывают раздел M и уходят корнями вmantию Земли, откудаmantийский материал по зонам разломов был поднят в верхние этажи коры. Такое явление наблюдается, например, в Белозерском желеизорудном районе, на участках же Орехово-Павлоградского [345, 351] и Криворожско-Кременчугского [276] разломов отмечен аномальный раздув зоны взаимоперехода коры иmantии, образованной смесью корово-mantийного материала. По аналогии можно считать, что и другие глубинные разломы Украинского щита нарушают раздел M и имеют корни в верхней mantии.

Древние разломы Украинского щита продолжаются далеко за его контурами, в пределах Днепровско-Донецкого авлакогена, Скифской плиты и альпийской геосинклинальной области, где они неоднократно подновлялись в послепротерозойские этапы развития и оказывали влияние на геотектоническую зональность, распределение фаций, складчатость, проявления магматизма и т. д.

Наиболее значительные из этих разломов обусловливают продольное подразделение структуры Днепровско-Донецкого авлакогена на Припятский грабен, Черниговский выступ, Днепровский грабен, Донецкое складчатое сооружение и отдельные блоки в их пределах. Грабен авлакогена, отделенный от склона Украинского щита и Воронежского массива глубинными разломами, образует протяженную линейно-вытянутую структуру.

По своим размерам и морфологическим признакам — большой протяженности при относительно малой ширине и наличию ограничивающих краевых глубинных разломов — Днепровско-Донецкий авлакоген напоминает геосинклинальные троги Карпат, Крыма и Кавказа. Это в совокупности с особенностями геотектонического развития авлакогена в юго-восточной, донецкой, части дает основание считать его возникшим в теле платформы и постепенно затухающим к северо-западу геосинклинальным трогом, развитие которого остановилось на начальных стадиях.

К югу от Украинского щита в субширотном направлении протянулась цепочка шовных грабенов, которые составляют Причерноморско-Кубанскую впадину. Последняя приурочена к зоне сочленения Восточно-Европейской платформы и Скифской плиты, происходящего по крупному глубинному разлому — шву. Геологическая и геофизическая характеристики его опубликованы в работах [254, 255, 346, 347]. В настоящее время глубинные разломы, ограничивающие Восточно-Европейскую платформу с юга и юго-запада, исследованы пятью профилями ГСЗ. Юго-западный разлом изучен в Предкарпатье (к северу от Ивано-Франковска), южный — в пределах северо-западной части акватории Черного моря, в Крыму (в районе Чонгарского п-ова), в Азовском море и в Северо-Западном Предкавказье (в районе станицы Староминской). По всем профилям, кроме азовского, получены данные, подтверждающие существование крупных разрывных нарушений. В Предкарпатье и Предкавказье по этим нарушениям раздел М сброшен: в первом случае — к юго-западу, куда он быстро погружается по серии ступеней с суммарной амплитудой смещения более 20 км (рис. 12), во-втором — к югу примерно на 3—5 км [214]. К западу от Крыма раздел М в том же направлении быстро возвышается [164]. В Крыму смещения нет, однако в зоне разлома происходит резкое затухание сейсмических волн, отраженных от раздела М [254, 255, 6'], что свидетельствует о сильной нарушенности и раздробленности пород. Ширина зоны разлома в основании коры, судя по сейсмической записи, примерно 15—20 км [255], в верхних этажах — значительно больше (до 40 км): таким образом, зона нарушения расширяется кверху, имея в поперечном сечении V-образную форму. На профиле ГСЗ через Азовское море четких данных об ограничивающих Восточно-Европейскую платформу разломах нет.

Рассматриваемый глубинный разлом по комплексу имеющихся геофизических данных протягивается в субширотном направлении с востока на запад через Предкавказье (станицы Калнибоготская — Староминская — юг Ейского п-ова), северную часть Азовского моря, Крым (юг Перекопского перешейка) и осевую часть Молдавского (Приднестровского) грабена. Можно думать, что разлом продолжается на запад, где разделяет Восточные и Южные Карпаты. Встречаясь с западным продолжением разлома, Карпатская складчатая система резко меняет свое простирание с северо-западного на широтное. В месте разворота Карпатской складчатой дуги, где западное продолжение краевого разлома Восточно-Европейской платформы встречается с северо-западными разломами Восточных Карпат, концентрируются очаги землетрясений, в том числе и глубокофокусных (район Вранча).

Сочленение альпийской складчатой области со Скифской плитой происходит по зоне крупных глубинных разломов, протягивающихся от Центрального Кавказа (Пшекиш-Тырынаузский разлом) по южному борту Индоло-Кубанского прогиба (Ахтырский разлом) вдоль северного ограничения Горного Крыма и далее, уже в Болгарии, между Мизийской плитой и мегантиклинерием Старой Планины. На всем протяжении этой зоны прослеживается цепочка интенсивных магнитных аномалий [191]. Существование глубинного разлома установлено также исследованиями ГСЗ в Крыму, на участке перехода от Горного Крыма к равнинной его части [254, 255, 259, 262, 346, 347]. Наличие здесь разлома подтверждено грави-

метрическими исследованиями [143] и анализом магматических проявлений [146]. Положение зоны глубинных разломов, проходящих в субширотном направлении от северного края Горного Крыма к северному ограничению мегантиклинерия Старой Планины и отделяющих альпийские сооружения от Скифской плиты, свидетельствует о невозможности соединения Горного Крыма с поднятием Добруджи. К этому вопросу мы еще вернемся.

Глубинные разломы, активно проявлявшиеся в риффе, палеозое и мезо-кайнозое и контролирующие простирание и границы байкальских, герцинских и альпийских структурных элементов, обычно или параллельны древним глубинным разломам Украинского щита, или являются их продолжением. Так, краевые разломы Днепровско-Донецкого авлакогена, юго-западный краевой разлом Восточно-Европейской платформы, продольные разломы Восточных Карпат, Закарпатский и Береговский разломы параллельны северо-западным разломам Украинского щита (Подольскому, Центральному, Днепродзержинскому — [13, 303]). Наиболее значительные поперечные разломы Восточных Карпат (Стрыйский и др.), по-видимому, служат непосредственным продолжением древних разломов западной части Украинского щита, имеющих юго-западное простирание. Разломы, ограничивающие Припятский грабен, южный краевой разлом Восточно-Европейской платформы, краевые разломы Южных Карпат, Северо-Предбалканский и Марицкий разломы, на значительных отрезках продольные разломы альпийской зоны Крыма — Кавказа, параллельны субширотным разломам Украинского щита (Андрушевскому, Коньскому и др.). В северном Причерноморье и Днепровско-Донецком авлакогене установлено палеозойское и мезо-кайнозойское подновление продолжающихся сюда древних субмеридиональных разломов Украинского щита, свидетельствующее об их исключительной живучести [73, 74, 345—347, 351, 364].

Таким образом, можно предположить, что ортогональная и диагональная системы глубинных разломов юга Европейской части СССР, включая области байкальской, герцинской и альпийской складчатости, имеют древнее дорифейское заложение. В связи с этим не исключено, что глубинные разломы, активно проявлявшиеся в риффе, палеозое и мезо-кайнозое, являются регенерированными древними нарушениями.

Имеются доказательства неоднократных перестроек тектонического плана на юге Европейской части СССР, при которых ведущая роль переходила то к одной, то к другой системе глубинных разломов. Такие перестройки происходили до позднего протерозоя, в риффе, палеозое и позднее. Формирование структур нового тектонического плана происходило на основе ранее существовавшей в земной коре сетки разломов. При этом, подчиняясь общему генеральному простиранию, структуры нового плана «вписывались» в мозаику блоков земной коры, используя местами разломы других, «не своих» направлений (например, переход с северо-западной системы разломов на субширотную в южной части Карпат, в Припятской и Донецкой частях Днепровско-Донецкого авлакогена).

Данных о наклоне и поведении на глубине многих глубинных разломов региона нет. Между тем, имеющиеся материалы позволяют сделать вывод об общем падении на север субширотных и северо-западных глубинных разломов южных краевых частей Восточно-Европейской платформы и прилегающих к ней с юга областей. Такое падение, по наблюдениям ГСЗ, имеют разломы Волынь-Подольской плиты и северо-запада Украинского щита (рис. 12), южный краевой разлом Восточно-Европейской платформы. Глубинные разломы между Скифской плитой и Горным Крымом, Крымом и Черноморской впадиной.

Типичные примеры

Конкретные особенности проявления древних глубинных разломов и их последующего подновления на юге Европейской части СССР с большой наглядностью могут быть проиллюстрированы примерами Орехово-Павлоградского и Одесского разломов, подробно рассмотренных в работах [345, 351, 364].



Рис. 20. Обзорная схема зоны Орехово-Павлоградского глубинного разлома и его северного и южного продолжений:

1 — правобережная часть Украинского щита, стабилизированная в донецком центре; 2 — промывальная часть Украинского щита, переработанная герцинскими движениями; 3 — склоны Украинского щита и Воронежской масивы; 4 — грабен в теле Восточно-Европейской платформы; 5 — герцинское складчатое сооружение; 6 — Причерноморская мезоволокнистая антиклинальная впадина; 7 — участки приподнятого залегания Фундамента Синайской плиты; 8 — альпийские складчатые сооружения Крыма и Кавказа; 9 — альпийский передовой прогиб; 10 — альпийские складчатые сооружения Туриции; 11 — срединные массивы Турции; 12 — зона Орехово-Павлоградского глубинного разлома.

Пифим в краю х.: 1 — Днепровско-Бугская часть Украинского щита; 2 — Приазовский массив; 3 — Воронежский массив; 4 — Днепровский грабен; 5 — Донецкое складчатое сооружение; 6 — Онеско-Синапский прогиб; 7 — Симферопольско-Балаклайское поднятие; 8 — Азовский вал; 9 — Горный Крым; 10 — мегантиклиниорий Большого Кавказа; 11 — Ильинско-Кубанский передовой прогиб; 12 — Анкарский прогиб; 13 — Лидийско-Карийский срединный массив; 14 — Киркшекирский срединный массив.

Многие исследователи отмечали, что зоны Украины и Приазовья не ограничиваются его контуром и продолжаются в пределах прилегающих к щиту геоструктур [46, 131, 250, 286]. Анализ большого фактического материала прошлых лет, а также данных последних глубинных геофизических исследований в Причерноморье показывает, что зона Орехово-Павлоградского глубинного разлома прослеживается на многие сотни километров на север и юг от Украинского щита через самые различные регионы и представляет собой крупный древ-

ний линеамент, на протяжении всей истории формирования игравший очень важную роль в тектонике юга Европейской части СССР. Можно прорасширять Орехово-Павлоградскую зону от Харькова на севере через Павлоград — Мелитополь — Белогорск и далее, предположительно, через Черное море — Анкару до оз. Туз в Турции (рис. 20). Проследим зону разлома последовательно в направлении с севера на юг.

На северном участке между Харьковом и Павлоградом вдоль зоны разлома происходит сочленение Днепровско-Донецкой впадины с Донецким складчатым сооружением. О наличии здесь глубинного разлома свидетельствуют:

1) общие принципиальные различия в геологическом строении, режиме и истории развития Донецкого складчатого сооружения и Днепровско-Донецкой впадины;

2) широкое развитие в зоне сочленения значительных субмеридиональных флексураобразных перегибов и разрывных нарушений, обусловливающих быстрое погружение осадочных толщ на запад, приводящих к образованию структурных террас, поперечных барьеров и неоднократному смещению осевых линий антиклинальных складок, к ориентировке их в север — северо-восточном направлении, несогласном общему региональному пространнию структур [19, 140, 380 и др.];

3) затухание линейной складчатости Донецкого складчатого сооружения, не прослеживающейся в Днепровско-Донецкую впадину [141, 392 и др.];

4) быстрые изменения мощностей и литофаильные замещения карбоновых, пермских, триасовых, юрских и более молодых отложений [141, 380 и др.], свидетельствующие о приуроченности к зоне сочленения границы крупных блоков с длительными разнонаправленными движениями;

5) изменение степени метаморфизма каменноугольных отложений при переходе от Донецкого складчатого сооружения к Днепровско-Донецкой впадине [378];

6) проявления в зоне сочленения эфузивов юрского возраста [304];

7) наличие зоны больших градиентов силы тяжести, разграничающей в северо-восточном направлении районы Донецкой складчатости и Днепровско-Донецкой впадины с различным гравитационным полем [380, 392].

Большая ширина зоны сочленения Днепровско-Донецкой впадины и Донецкого сооружения объясняется, по-видимому, двумя причинами: а) здесь, очевидно, сходятся зоны двух древних глубинных разломов — Орехово-Павлоградского и Коньско-Белозерского; б) кристаллический фундамент располагается на очень больших глубинах, составляющих, по данным сейсмических исследований Института геофизики АН УССР, не менее $10 \div 12$ км. Чем глубже фундамент, тем, по-видимому, шире зона разлома в верхних частях осадочного чехла.

Орехово-Павлоградский разлом разделяет Украинский щит на две крупные части: западную, Днепровско-Бугскую, и восточную, Приазов-

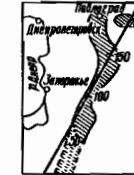
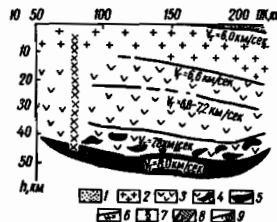


Рис. 21. Сейсмогеологический разрез земной коры в зоне Орехово-Павлоградского глубинного разлома на Украинском щите (составил В. Б. Соллогуб, Н. И. Павленкова, А. В. Чекунов):

1 — осадочный слой, 2 — «гранитный» слой, 3 — «базальтовый» слой, 4 — зона взаимоперехода земной коры и верхней мантии (зона «корово-мантийной смеси»), 5 — верхняя мантия, 6 — сейсмические границы с указанными значениями гравитации и строения, 7 — краевое разрывное нарушение зоны Орехово-Павлоградского глубинного разлома, 8 — зона Орехово-Павлоградского глубинного разлома и ее южное продолжение под осадочным чехлом, 9 — профиль ГСЗ.

скую. Последняя в отличие от первой была существенно затронута герцинскими движениями [141]. Вдоль тяготеющей к разлому нарушенной обстановкой зоны, возможно, соединялись юрские бассейны Скифской плиты и Днепровско-Донецкой впадины, далеко на север распространялась раннемеловая и палеогеновые трансгрессии, до Днепропетровска в виде залива проникала с юга сарматская ингрессия.

В зоне Орехово-Павлоградского разлома на Украинском щите, по данным ГСЗ, наблюдается аномальный раздун зоны взаимоперехода между корой и мантией (рис. 21).

Продолжение разлома на южном склоне Украинского щита до оз. Молочного прослеживается по магнитным аномалиям, гравитационной ступени, перепаду глубин поверхности кристаллического фундамента, быстро погружающегося к западу от Приазовского массива по серии разрывных нарушений субмеридионального направления, установленных бурением и КМПВ.

За пределами Восточно-Европейской платформы, в равнинной части Крыма, продолжение зоны Орехово-Павлоградского разлома (Новоцарыцьская гравитационная аномалия) было изучено ГСЗ [256]. Это второе пересечение зоны Орехово-Павлоградского разлома (его продолжения) профилем ГСЗ. Разрез по этому профилю приведен на рис. 22. Зона глубинного разлома, шириной около 15 км, четко трассируется по многочисленным дифрагированным волнам и аномальным осложнениям сейсмической записи. Она имеет сложное строение. Появление в ее пределах локальных сейсмических границ со скоростями упругих волн около 8 км/сек, свойственными обычно перидотитам и пироксенитам, позволяет предполагать, что зона выполнена интрузиями пород основного и ультраосновного состава. Своими корнями зона разлома уходит на большие глубины, по-видимому, в верхнюю мантию, откуда происходило внедрение интрузивных масс. Ограничивающие зону разлома поверхности имеют очень сложное строение, характеризуются неровностями, изломами, выступами, различного рода неоднородностями, приводящими к образованию большого количества дифрагированных волн. Плотные породы, выполняющие зону разлома, обусловливают основной эффект Новоцарыцьской гравитационной аномалии. Таким образом, получили подтверждение представления о природе аномалии, уже давно высказанные автором [329] и Г. А. Лычагиным [155]. Бурение Нижнегорской скв. Р-6, встретившей в зоне Новоцарыцьской аномалии магматические породы основного состава [226], показало справедливость приведенной интерпретации данных ГСЗ.

В Присыпашье и равнинной части Крыма продолжение зоны Орехово-Павлоградского нарушения (Мелитопольско-Новоцарыцьский разлом), ограничивает Одесско-Сивацкий прогиб с востока, а Индольский прогиб — с запада. В Горном Крыму наиболее вероятным продолжением разлома является бассейн р. Тонас, где происходит резкая смена фаций от-

ложений верхней юры [177], флишевых к востоку от нарушения и преимущественно карбонатных к западу от него.

Не исключено, что зона Орехово-Павлоградского глубинного разлома продолжается и южнее Крыма в Турцию. Об этом, в частности, косвенно может свидетельствовать пережим крупных гравитационных аномалий, установленный исследованиями Ю. Д. Буланже и его сотрудниками в глубоководной части Черного моря. В Турции в зоне разлома, возможно, приурочен субмеридиональный Анкарский прогиб, образующий подобие залива, заполненного складчатыми мезозойскими и палеогеновыми породами [148, 221]. Этот заливообразный прогиб заходит к югу в пределы древних массивов — между Кырşehirским на востоке и Лидийско-Карийским на западе. Вдоль западного и восточного ограничений Анкарского прогиба в почти меридиональном направлении протягиваются цепочки эпицентров землетрясений, связанных в значительной степени с движениями по подновленным древним разломам [148, 221].

Одесский глубинный разлом, как и Орехово-Павлоградский, пересекающий в субмеридиональном направлении всю территорию Украины (рис. 23), сопровождается Володарско-Побужско-Одесской полосой магнитных аномалий, первые указания на существование которой были получены более ста лет назад [364]. Геологическое изучение районов Украинского щита в указанной полосе привело в последние годы к выделению Брусилово-Одесской структурно-фаунистической зоны, представляющей собой сложный нижнепротерозойский синклиниорий (21, 22 и др.). Эта зона (рис. 24) пересекает Украинский щит, совпадая с ранее выделенной геофизиками полосой магнитных аномалий. Комплексный анализ геофизических материалов по Украинскому щиту, приведенный в последнее время К. Ф. Тяпкиным, В. Д. Харитоновым и др., позволил интерпретировать полосу (рис. 25) как зону крупного глубинного разлома [13, 303], что хорошо согласуется с геологическими данными [21, 22 и др.].

На Украинском щите в результате длительной эрозии обнажены глубокие корни Одесского разлома, что позволяет наблюдать его проявления в условиях древней раннепротерозойской геосинклиналии. Согласно геологическим данным, Брусилово-Одесская структурно-фаунистическая зона представляет собой сравнительно узкую сложную синклиниорную полосу субмеридионального простириания, глубоко врезанную в породы основания. Образование этой зоны связано с резкой перестройкой структурного

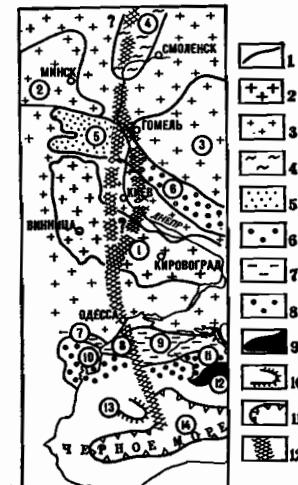


Рис. 22. Сейсмогеологический разрез земной коры в зоне южного продолжения Орехово-Павлоградского глубинного разлома на территории Крыма, в зоне Новоцарыцьской гравитационной аномалии:

1 — осадочный слой, 2 — гранитный слой, 3 — базальтовый слой, 4 — сейсмические границы с указанием азимутов и магнитных скоростей, 5 — точки дифракции, 6 — зона глубинного разлома, 7 — породы ультраосновного состава (интрузии из верхней мантии), 8 — разрывные нарушения, 9 — буроые скважины, 10 — контуры депрессий, 11 — контуры поднятий, 12 — сейсмический профиль ГСЗ.

Цифры на схеме: 1 — Сивацкая впадина, 2 — Индольский прогиб, 3 — Новоцарыцький выступ, 4 — Азовский вал.

трассируется по многочисленным дифрагированным волнам и аномальным осложнениям сейсмической записи. Она имеет сложное строение. Появление в ее пределах локальных сейсмических границ со скоростями упругих волн около 8 км/сек, свойственными обычно перидотитам и пироксенитам, позволяет предполагать, что зона выполнена интрузиями пород основного и ультраосновного состава. Своими корнями зона разлома уходит на большие глубины, по-видимому, в верхнюю мантию, откуда происходило внедрение интрузивных масс. Ограничивающие зону разлома поверхности имеют очень сложное строение, характеризуются неровностями, изломами, выступами, различного рода неоднородностями, приводящими к образованию большого количества дифрагированных волн. Плотные породы, выполняющие зону разлома, обусловливают основной эффект Новоцарыцьской гравитационной аномалии. Таким образом, получили подтверждение представления о природе аномалии, уже давно высказанные автором [329] и Г. А. Лычагиным [155]. Бурение Нижнегорской скв. Р-6, встретившей в зоне Новоцарыцьской аномалии магматические породы основного состава [226], показало справедливость приведенной интерпретации данных ГСЗ.

В Присыпашье и равнинной части Крыма продолжение зоны Орехово-Павлоградского нарушения (Мелитопольско-Новоцарыцьский разлом), ограничивает Одесско-Сивацкий прогиб с востока, а Индольский прогиб — с запада. В Горном Крыму наиболее вероятным продолжением разлома является бассейн р. Тонас, где происходит резкая смена фаций от-

Рис. 23. Обзорная схема Одесского глубинного разлома и его северного и южного продолжений:

1 — контуры структур; 2 — Восточно-Европейская платформа; 3 — выходы донифейского фундамента на дневную поверхность, 4 — участки относительно проницаемого залегания фундамента под осадочным чехлом; участки глубокого залегания фундамента; 5 — Оршанско-Крестцовский прогиб, 6 — Приморский грабен, 7 — Днепровский грабен, 8 — Причерноморская впадина; 9 — участки проницаемого залегания древнего и молодого (рифейского, палеозойского, трапа-эорского) фундамента на южном борту Приморской впадины, 10 — выходы склонодислокированных флишевых трапа-эорских толщ на дневную поверхность, 11 — контуры полигонетических форм рельефа дна Черного моря, 12 — контур области северного гравитационного слоя в Черном море, 13 — Одесский глубинный разлом и его продолжения.

Цифры в кругах: 1 — Украинский щит, 2 — Малзурко-Белорусская антиклиналь; 3 — Воронежская антиклиналь; 4 — Оршанско-Крестцовский прогиб; 5 — Приморский грабен; 6 — Днепровский грабен; 7—9 — Причерноморская впадина; 10, 11 — Кызылско-Симферопольский прогиб; 10, 11 — Кызылско-Симферопольское поднятие; 10 — складчатое сооружение Добруджи и Кызылское поднятие в пределах его опущенного северного склона, 11 — Симферопольско-Евпаторийское поднятие; 12 — Горный Крым, 13 — хребет Мисесеева, 14 — Черноморская впадина.

стей — не менее 5,2—5,8 км/сек. Нет никаких оснований думать, что в глубоководной котловине Черного моря развит какой-то особый палеозой в рыхлых песчано-глинистых фациях.

Таким образом, приходим к принципиально важному выводу: центральная наиболее прогнутая часть Черноморской впадины почти нацело выполнена отложениями олигоцена, неогена и антропогена. Лишь в самых низах разреза, по-видимому, также есть образования нижнего — средне-

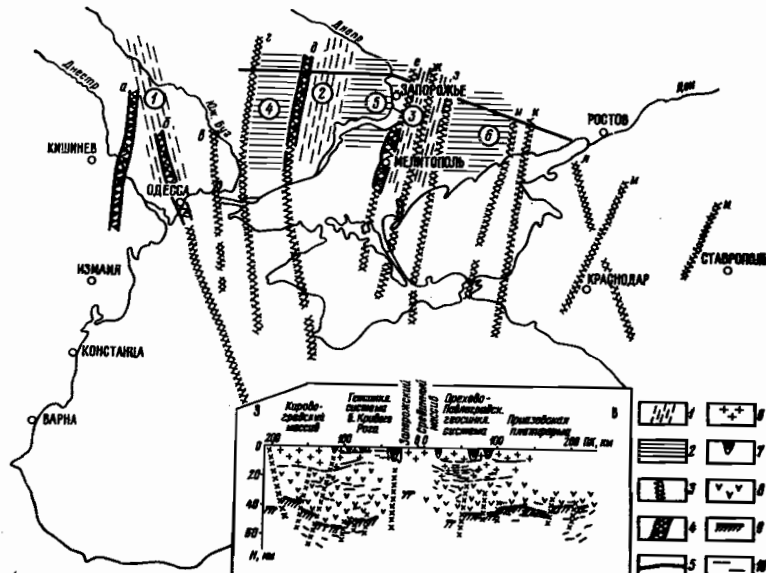


Рис. 56. Тектоническая схема Северного Причерноморья в раннем протерозое (составлена с использованием данных Я. Н. Белевцева, И. А. Гаркаленко, А. К. Пруса, М. Р. Пустынникова, Н. П. Семененко, В. Б. Соллогуба, А. А. Трипольского, М. В. Чирвицкой и др., 1970 г.):

1 — геосинклинальные системы, 2 — платформенные участки и срединные массивы, 3 — глубинные разломы раннепротерозойского заложения, 4 — геосинклинальные троги в зонах глубинных разломов, 5 — расположение профиля ГСЗ VIII Кировоград — Таганрог, 6 — «гранитный» слой, 7 — синеклинические структуры в «гранитном» слое, 8 — «базальтовый» слой, 9 — раздел M, 10 — сейсмические горизонты.

Цифры в круглых скобках. Геосинклинальные системы: 1 — Европейско-Одесская, 2 — Криворожская, 3 — Орехово-Павлоградский. Платформенные участки и срединные массивы: 4 — Кировоградский участок, 5 — Запорожский срединный массив, 6 — Приватовская платформа.

Буквы на схеме. Глубинные разломы раннепротерозойского заложения: а — Фрунзенско-Арцизский, б — Одесский, в — Очаковский, г — Кировоградско-Николаевский, д — Криворожско-Киевский, е — Кониско-Беловежский, ж — Орехово-Павлоградский, з — Корсаково-Феодосийский, и — Керченский, к — Кальмыко-Джигитинский, л — Староминско-Курджинский, м — Апшеронско-Екатерининский, н — Армавиро-Тахтинский.

го палеогена и мела, суммарная мощность которых, однако, столь невелика, что разрешающие возможности сейсмического метода недостаточны для их обнаружения. В периферических частях впадины мощность этих отложений существенно увеличивается, а стратиграфический диапазон разреза расширяется за счет образований, развитых в структурах черноморского обрамления.

Вывод о том, что Черноморская впадина выполнена преимущественно олигоцен-неоген-антропогеном, хорошо соответствует особенностям геологического развития этих структур. Действительно, к майкопскому времени закончился собственно геосинклинальный этап развития, и с олигоцена начались заключительные орогенные воздымания в альпийских складчатых сооружениях, окружающих Черное море. Сильные поднятия

с этого времени испытывали Большой и Малый Кавказ, Малая Азия, Балканский полуостров, в воздымание была вовлечена раннеальпийская структура Горного Крыма. Вполне естественно, что с олигоцена началось и интенсивное прогибание Черноморской впадины.

В основном наш вывод согласуется с представлениями М. В. Муратова и Ю. П. Непрочнова [179], расхождение заключается лишь в оценке мощности верхний мел — палеоцен — эоценового комплекса, толщина которого, очевидно, гораздо меньше 3—8 км, как полагают эти исследователи. Соответственно, мощность майкопских отложений должна быть значительно больше 2 км.

Изложенные материалы, на наш взгляд, весьма убедительно показывают, что представления о большой древности Черноморской впадины и первичноокеаническом характере ее коры сомнительны. Наиболее вероятно, что это структура новообразованная, возникшая сравнительно недавно в результате переработки коры континентального типа. В пользу такого вывода свидетельствуют особенности расположения древних раннепротерозойских геосинклинальных систем в районах, прилегающих к Черноморской впадине. Эти системы хорошо изучены в пределах Украинского щита. Они имеют субмеридиональное простирание и протягиваются далеко за рамки щита, к северу и к югу от него. Южные продолжения раннепротерозойских геосинклинальных структур прослежены [74, 257, 267, 345—347, 351, 364 и др.] через всю Скифскую плиту и альпийские сооружения Крымско-Кавказской области, южнее которых они уходят в пределы глубоководной котловины Черного моря, где нет «гранитного» слоя (рис. 56). Продолжение древних структур обнаружено уже по другой стороне геосинклинального пояса Тетиса, в пределах Аравийской платформы, где они также имеют субмеридиональное простирание. Вполне естественно полагать, что если бы на месте Черноморской впадины находился останец океанической коры, геосинклинальные структуры до кембрия должны были бы не пересекать, а каким-то образом огибать, «обтекать» его, чего в действительности не наблюдается.

Геотектоническое развитие Северного Причерноморья и Черноморской впадины

Обычные тектонические карты отражают суммарный эффект движений и деформаций земной коры за всю историю ее формирования. На разных этапах развития эти движения и деформации носили различный характер, подчиняясь неоднократно менявшемуся структурному плану. Тем самым тектоническая карта подобна неоднократно экспонированному фотокадру, на который наложено несколько различных ситуаций. При этом обычно подчеркивается и наиболее рельефно выделяется последняя ситуация, последний тектонический план и его структуры. Чем древнее этап развития, тем больше он затушеван последующими деформациями и тем меньше он проявляется на тектонических картах.

В связи с изложенным геотектонический анализ нуждается в расчленении наблюдавшегося суммарного структурного эффекта, отображаемого на тектонических картах, и должен сопровождаться составлением поэтапных тектонических схем для каждой достаточно четко выраженной стадии развития.

Раннепротерозойский этап

Тектонический план раннего протерозоя, судя по Украинскому щиту, где геоструктуры этого возраста обнажены и сравнительно хорошо изу-

диной между Крымом и Кавказом. Ставропольское поднятие разграничивало Азово-Кубанскую впадину и прогиб Восточного Предкавказья.

Субмеридиональная ориентировка поперечного прогиба северо-западной части Черного моря, как, по-видимому, и других поперечных струк-

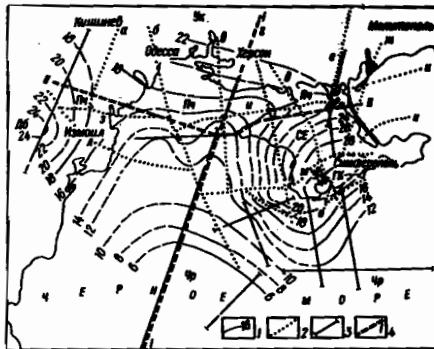


Рис. 72. Схема изомощностей «базальтового» слоя

— линии изомощностей (в км), 2 — глубинные разломы, 3 — профили ГСЗ, 4 — линии, по которым построены графики рис. 11 (буквенные обозначения см. на рис. 45).

ным геотектоническим режимом. На востоке прогиба четко проявляется южное продолжение древнего Кировоградско-Николаевского разлома, выражющееся в резком повороте линий изомононностей, принимающих к западу от Тарханкутского полуострова субмеридиональную ориентировку, несогласно простирацию изолиний на соседних участках. Здесь же, на продолжении Кировоградско-Николаевского разлома, изопахиты резко сгущаются, отображая наличие субмеридиональной ступени, вдоль которой к западу быстро увеличивается мощность палеогеновых отложений. В этом же направлении к западу от Крыма ступенеобразно погружается подстилающий субстрат. Вслед за ним погружается зеркало складчатости структур Тарханкутского п-ова, в частности Октябрьско-Меловой зоны антиклинальных поднятий. Западное продолжение зоны за ступенью Кировоградско-Николаевского разлома хорошо видно на рис. 66, 69 и 71 к юго-востоку от Михайловского прогиба. Характерно, что ступень Кировоградско-Николаевского разлома лучше выражена в палеогеновых отложениях, чем в более молодых, неогеновых. Западнее древних Одесского и Очаковского разломов продолжение антиклинальных складок Тарханкутского п-ова не прослеживается.

Криворожско-Евпаторийский разлом отделяет с запада Симферопольско-Евпаторийское поднятие от его западного погребенного продолжения и от Октябрьско-Меловой зоны антиклинальных поднятий. Районы, расположенные к востоку от Криворожско-Евпаторийского разлома, за оз. Донузлав, в отличие от районов Тарханкутского п-ова, испытывали в палеогене значительно меньше опускания.

Влияние древних тектонических зон и разломов на молодой структурный план, их активизация и возрождение вследствие этого древних дориейских простираций свидетельствуют об исключительной живучести и консервативности разломов и швов в геологической истории.

Образование прогиба северо-западной части Черного моря генетически было связано с формированием Черноморской впадины. Процесс преобразования земной коры, обусловивший возникновение этой впадины,

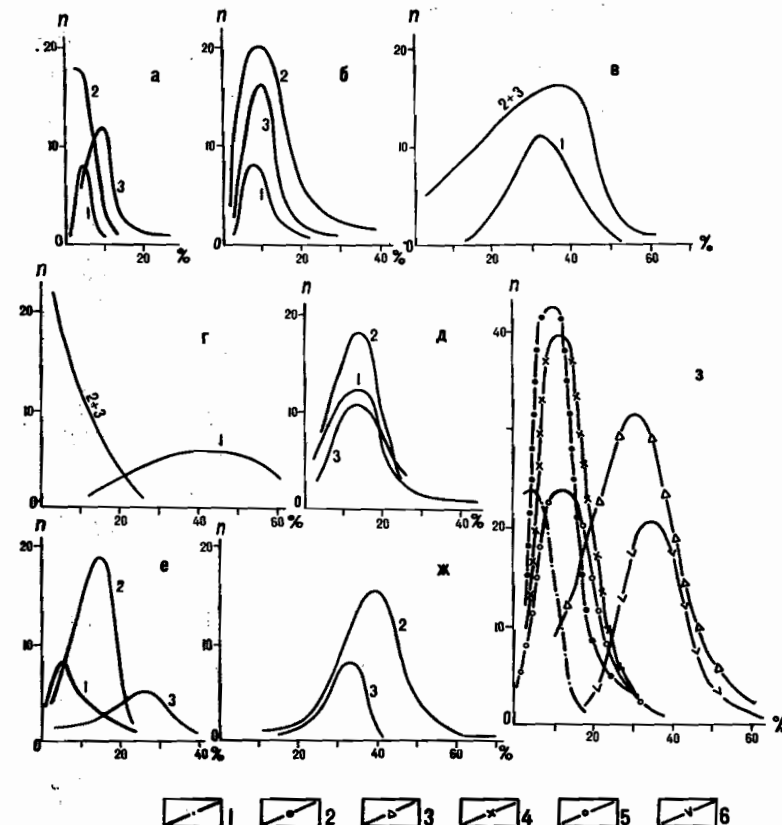


Рис. 73. Кривые распределения мощностей отдельных ярусов и горизонтов среднего миоцена — антропогена относительно общей мощности надмайкопской толщи Северного Причерноморья:

а — гархан — чокрак, *б* — караган — конка, *в* — нижний — средний сармат, *г* — верхний сармат, *д* — мэотис, *е* — понт, *ж* — средний — верхний плиоцен — антропоген, *з* — суммарные кривые для всего региона.

Цифры на графиках — *самые*: 1 — районы, прилегающие к северо-западной части Черного моря, 2 — Восточный Крым и платформенные участки Западного Предкавказья, 3 — Западный Кубанский плакт.

Обозначения на графике «а»: 1 — тархан — чокрак, 2 — караган — конка, 3 — сармат, 4 — мэотис, 5 — понт, 6 — средний — верхний плиоцен — антропоген (только для Западного Предкавказья).

постепенно охватывал окружающие ее структуры, в результате чего впадина расширялась. В северо-западной части моря процесс преобразования коры развивался прежде всего по ослабленным зонам древних субмеридиональных разломов.

Попытаемся расчленить послемайкопскую толщу Черноморской впадины на отдельные ярусы и горизонты. Для этого используем ту же аргументацию и методику, которые были применены при общем подразделении всего осадочного комплекса впадины на майкопскую и надмайкопскую части. Такие построения, конечно, условны и имеют невысокую точность. На сегодняшний день, однако, это единственная возможность что-либо сделать в указанном направлении.